

공압 굴삭기 시스템의 구축

천세영*, 이영주, 임태형, 안태규(울산대 대학원 기계자동차공학부)

양순용(울산대 기계자동차 공학부 부교수)

Development of Pneumatic Excavator System

Y. S. Cheon*, K. T. Ahn (Mecha. & Automotive Eng. UOU),
J. Y. Lee, C. H. Cho (Institute of e-vehicle technology UOU),
S. Y. Yang(Mecha. & Automotive Eng. UOU)

ABSTRACT

The most bottleneck of development of automation excavator system is the making mathematical linear model. Because of non-linear of control circuit, cylinder, join in hydraulic circuit, and heavy loading so on. Therefore, whatever robust controller is designed, real experimentation is necessary. But, a real experimentation has many risks. The excavator is expensive and large size. Therefore a development of experimentation system is difficult and not safe. Specially, there have a difficulty, because of big noise. So, on experimentation is difficult in school. Manufacturing pneumatic excavator model and using system identification, design a system transfer function in this paper. Also, planning m-PID Controller using CDM, and examining usefulness applied to actuality model.

Key Words : Pneumatic, System Identification, CDM, m-PID Controller

1. 서론

굴삭기의 실차실험 시스템 구축도 힘들뿐더러 실험시 안전면에서 위험요소를 상당히 내포하고 있다. 특히 학교내에서 실험시 상당한 소음을 동반하여 연속적인 실험을 하기에 어려움을 가지고 있어 실험기간의 최소화가 요구되는 실정이다.

본 논문에서는 Lab에서 다양하고 연속적인 실험이 가능하도록 공압을 이용한 굴삭기 모델을 제작하고 기초시스템을 구축하여 암 끝단의 수평·수직 이동이 가능한 자동화 굴삭기의 기초자료로 활용하고자 한다. 본 목적에 따라 손쉽게 하드웨어 제작이 가능한 DR. LEGO를 이용하여 시스템을 구축하고 System Identification을 이용하여 전달함수를 도출하며, CDM을 이용하여 강연제어기를 설계하여 구축된 시스템에 적용하였다.

2. 시스템

시스템의 전달함수 도출을 위한 데이터를 수집하였다. 봄과 암을 각각 원하는 목표각도까지 동작시키고 그 동안의 실제 각도변화 데이터를 수집하였다. 입력은 목표각도이고, 출력은 실제 각도의 변화값이었고, 알고리즘은 LabVIEW 7.1을 사용하였다.

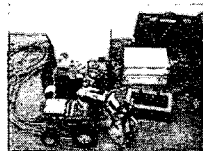


Fig 1. System

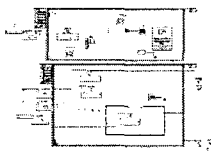


Fig 2. Algorithm

3. System Identification

2절에서 수집된 데이터를 MATLAB 6.5를 이용하여 시스템 규명을 실시하였다. 모두 4가지 모델에 대하여 실시하였으며, 그 결과를 Table 1과 Fig 3, 4에 나타낸다.

Table 1. Transfer Function

모델		전달함수
ARX	봄	$G(s) = \frac{0.001625s + 0.005542}{s^2 - 1.152s + 0.1527}$
	암	$G(s) = \frac{0.002814s + 0.006582}{s^2 - 1.301s + 0.3035}$
ARMAX	봄	$G(s) = \frac{5.336e - 5s + 0.0002111}{s^2 - 1.968s + 0.968}$
	암	$G(s) = \frac{-0.001747s + 0.002296}{s^2 - 1.963s + 0.9634}$
OE	봄	$G(s) = \frac{1.92e - 5s + 0.000177}{s^2 - 1.981s + 0.9816}$
	암	$G(s) = \frac{0.0002155s + 0.0003551}{s^2 - 1.964s + 0.9651}$
BJ	봄	$G(s) = \frac{-0.0007889s + 0.0009225}{s^2 - 1.987s + 0.9871}$
	암	$G(s) = \frac{-0.001448s + 0.001955}{s^2 - 1.968s + 0.9681}$

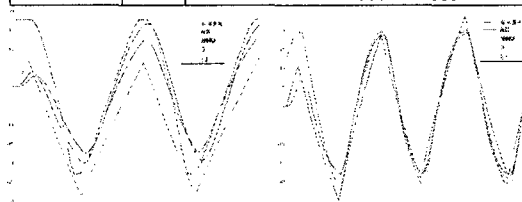


Fig 3. Compared with experiment, 4 model simulation
(a) Boom (b) Arm

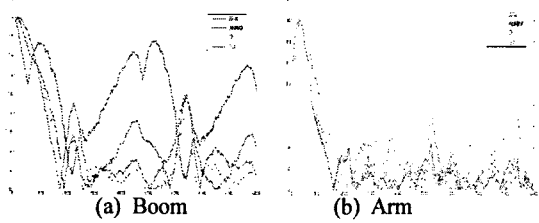


Fig 4. Mean deviation of experiment & 4 model simulation

ARX 모델을 제외하고는 나머지 세 모델이 비슷한 유형을 보이고 있으나, 실제 모델과의 표준편차에서 전체적으로 OE 모델이 가장 적은 편차를 나타내고 있다. 따라서, 본 논문에서는 봄과 암 모두 OE 모델로 선정한다.

4. CDM을 이용한 제어기 설계

본 절에서는 CDM(Coefficient Diagram Method)을 이용하여 m-PID Controller를 설계하였다.

2차계로 선정한 봄과 암의 OE 모델은 다음과 같은 형식을 가진다.

$$\frac{B_p}{A_p} = \frac{q_1 s + q_2}{s^2 + w_1 s + w_2}$$

Fig 5의 전체 시스템에 대한 폐루프 전달함수 G 와 특성방정식 P 를 구하면 다음과 같다.

$$G = \frac{K_i B_p}{(T_d s^2 + s) A_p + (K_d s^2 + K_p s + K_i) B_p}$$

$$P = (T_d s^2 + s) A_p + (K_d s^2 + K_p s + K_i) B_p$$

특성방정식의 계수를 a_i 라고 하면 다음과 같이 표현된다.

$$P = a_4 s^4 + a_3 s^3 + a_2 s^2 + a_1 s^1 + a_0$$

안정도 지수 $\gamma_r = [2.5 \ 2 \ 2]$ 로 결정하였기 때문에 계수를 비교하여 T_d, K_d, K_p, K_i, a_i 를 도출한다.

τ 의 변화($\tau = 0.5, 1, 2, 3, 5, 7$)에 대해 스텝응답을 확인하였다. 봄의 경우 모두 안정함을 알 수 있었고, 암의 경우 τ 가 약 1.8초 이후부터 안정함을 보여주고 있었다. τ 의 선정을 위해 MATLAB Simulink를 이용하였고, 봄은 $\tau = 6.5$, 암은 $\tau = 5$ 일 때로 선정하였다.

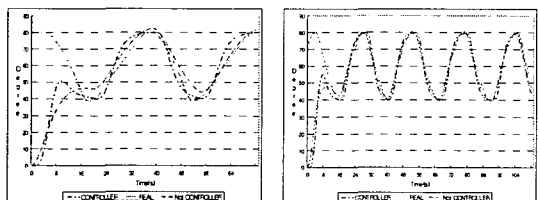


Fig 8. Response curve to same input

Fig 8은 시뮬레이션 결과로서 제어기를 설계하지 않은 경우 목표각도를 넘어서거나 못 미치고 있다. 제어기를 설계한 경우 응답성에서 약간 뒤쳐짐을 보여주고 있으나, 목표각도에 정확히 도달하고 있음을 알 수 있다.

5. 제어기 적용 결과 및 고찰

본 절에서는 설계된 제어기를 성능향상을 살펴본다. 4절에서 설계된 제어기를 LabVIEW 7.1의 Simulation toolkit을 사용하여 구축하였다.

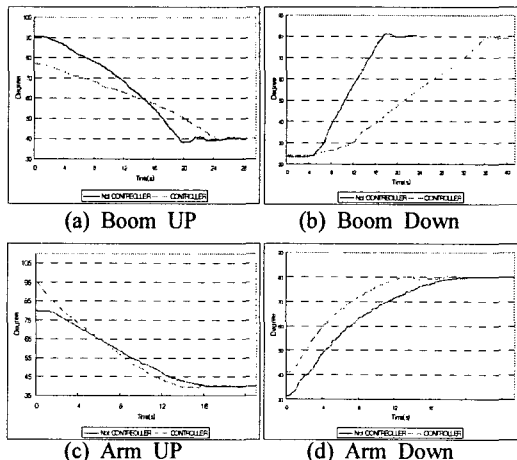


Fig 9. Response to used controller & not used controller

봄의 경우 상승과 하강 모두에서 Overshoot를 약간 감소시켰음을 알 수 있으나, 암의 경우 그다지 큰 변화가 없었다. 전체적으로 팔목할 만한 성능향상은 일어나지 않았다.

6. 결론 및 향후계획

1. 실제 시스템에 제어기를 적용한 결과 팔목할 만한 성능향상은 확인할 수 없었으며, 봄의 경우에서만 약간의 Overshoot 감소현상을 확인할 수 있었다.
2. 시뮬레이션과 실제실험의 결과가 다른 원인은 다음과 같이 사료된다.
 - a) LEGO용 실린더의 사용으로 header측과 bottom측에서 공압누수현상이 있었다.
 - b) LEGO로 제작된 시스템으로 인해 각 부품 및 실린더에서 유격현상이 있었다.
 - c) 포텐서미터의 전압과 각도간의 관계를 Curve fitting하여 관계식을 유도하였기 때문에, 시스템 전체의 정밀성이 떨어졌다.
3. 향후 문제점을 보완한 시스템의 재구성이 필요하며, 제안된 System Identification과 CDM을 실제 5톤 굴삭기에 적용하여 자동굴삭기 시스템을 구현한다.

참고문헌

1. S.Manabe, 1998, "COEFFICIENT DIAGRAM METHOD," 14th IFAC Symposium on Automatic Control in Aerospace .
2. Jer-Nan Juang,"Applied System Identification", Prentice Hall PTR, 1993